

***Smeringopus kalomo* Huber, 2012**

Kraus, O. 1957. Araneenstudien 1. Pholcidae (Smeringopodinae, Ninetinae). Senck. biol. 38(3/4): 217-243.

p. 223

***Smeringopus peregrinus* STRAND 1906.**

Taf. 20 Fig. 11-16.

1906 *Smeringopus peregrinus* STRAND, Jh. Ver. Naturk. Württ., 62: 47.

1907 *Smeringopus peregrinus*, — STRAND, Arch. Naturg., 25 (5/6): 569.

1913 *Smeringopus peregrinus*, — STRAND, Wiss. Ergebn. dtsh. Zentr.-Afr.-Exped., 4: 341.

v1936 *Smeringopus peregrinus*, — LESSERT, Rev. Suisse Zool., 43 (9): 234.

non *peregrinus* sensu TULLGREN 1910, LESSERT 1915.

TULLGREN (1910) beschrieb Exemplare vom Kilimandjaro und Meru als *peregrinus*, äußerte jedoch Bedenken wegen einiger Abweichungen von den Diagnosen STRAND's (z. B. frontale Zahnspitze der Cheliceren); diese Bedenken bestanden zu Recht: *peregrinus* sensu TULLGREN 1910 liegt uns aus Ruanda vor und wird im folgenden als *peregrinoides* n. sp. behandelt. Dagegen können andere Stücke mit Sicherheit zu *peregrinus* STRAND gestellt werden, so daß diese Art nochmals beschrieben und endlich auch abgebildet werden kann; dies erscheint uns um so wichtiger, als der Typus der Art in Stuttgart kriegsvernichtet ist.

♂ **Beschreibung:** Ceph so lang wie breit. Clypeus sehr steil, fast senkrecht; seine Höhe gleich dem 4-fachen Durchmesser der VM. Sternum wenig breiter als lang, zerstreut beborstet, glatt. Auf den Cheliceren frontal nahe der Klauen-Basis eine Zahnspitze, die nach ventral gerichtet ist (Fig. 11).

Reihe der VA recurv, die untere Tangente der VS teilt die obere Hälfte der VM. HA leicht recurv. VM < HM < VS = HS. VM sich fast berührend, ihr Abstand sehr klein, der Abstand VM-VS gleich dem halben Radius der VM. Der Abstand der HM beträgt $\frac{5}{6}$ ihres Längsmessers (0.15 : 0.18). Das von den VM+HM gebildete Trapez kaum kürzer als hinten breit (0.44 : 0.48).

Beine: Längenverhältnis der Fe I : IV : II : III, Fe I fast 6mal länger als der Ceph.

Pedipalpen (Fig. 12-14): Fe, Pt und Ti ohne Besonderheiten. Distales Ende des Lateralfortsatzes des Ta (Fig. 13) mit großer, dunkler Zahnspitze, sowie einer viel kleineren daneben. Bulbus-Apophyse vgl. Fig. 14.

Abd $2\frac{1}{2}$ mal länger als breit.

Maße: Ceph L 2.0; B 2.0. — Abd L 5.0; B 2.0. — Ges L 7.0. — Fe I 11.9; II 9.4; III 7.5; IV 9.9.

A-Durchmesser: VM 0.16; VS 0.20; HM 0.18; HS 0.20. — **Abstände:** VM~0.01; VM-VS 0.04; HM 0.15.

Färbung: Ceph hell hornbraun, die Medianbinde von ziemlich gleichmäßiger Breite, in der Region der Thorakalgrube auf eine kurze Strecke unter-

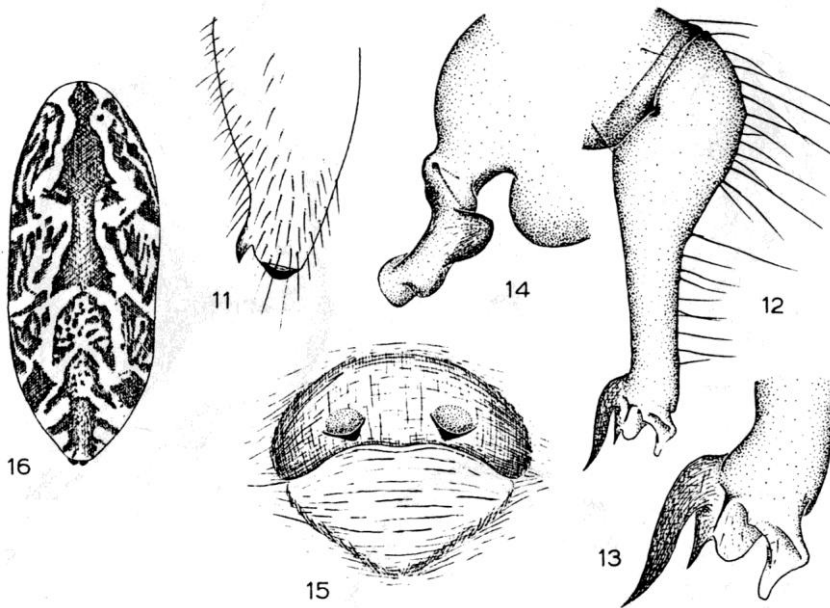
brochen. Seitenrandbinden sehr schmal, auf die Kante beschränkt; entsprechend der Lage der Coxen (I), II und III je ein Submarginalfleck. Clypeus mit konvergierendem, dunklem Streifenpaar. Cheliceren hornbraun, Sternum und Labium schwarz, durch einzelne helle Flecke marmoriert. Abd dorsal Fig. 16; ventral vor der Epigastralfurche ein breiter, schwarzer Fleck, in den beiden mittleren Vierteln eine paralleelseitige, schwarze Binde, die durch zwei schmale Längszonen dreigeteilt ist, im hinteren Viertel eine einfache Längsbinde.

♀ mit den allgemeinen Merkmalen des ♂. Die Epigyne (Fig. 15) mit querevaler, vorderer Platte; nahe deren Hinterrand die Öffnungen der Vulven in je einer ovalen Grube, die hinten durch eine Chitinkante begrenzt ist.

Material und Vorkommen: Mozambique, Vila Pery (3♂ 6♀, Slg. LESSERT, MG); Nova Choupanga (3♂ 13♀ Slg. LESSERT, MG; 2♂ 3♀ SMF 9811). — NW-Rhodesia, Broken Hill (1♂ 1♀ MH).

Fig. 11-16. *Smeringopus peregrinus* STRAND.

11) Chelicere von lateral; 12) Ta des rechten Pedipalpus (♂) von lateral; 13) distales Ende stärker vergrößert; 14) Bulbus des rechten Pedipalpus von medial; 15) Epigyne; 16) Abdomen von dorsal.



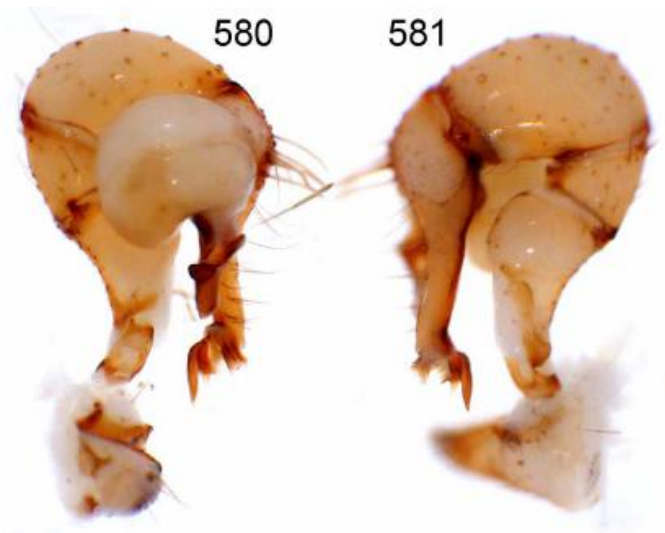
Huber, B. A. 2012. Revision and cladistic analysis of the Afrotropical endemic genus *Smeringopus* Simon, 1890 (Araneae: Pholcidae). *Zootaxa* 3461: 1-138.

p. 93

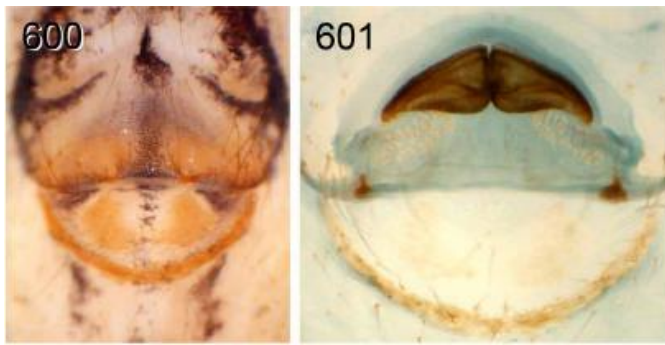


FIGURES 558–571. *Smeringopus peregrinus* group, habitus and male prosomata, oblique frontal views.
564–565. *S. kalomo*, male and female, dorsal views.
571. *S. kalomo*.

p. 94



FIGURES 572–583. *Smeringopus peregrinus* group, left male palps, prolateral and retrolateral views.
580–581. *S. kalomo*.



FIGURES 592–607. *Smeringopus peregrinus* group, epigyna, ventral views and cleared female genitalia, dorsal views.
. 600–601. *S. kalomo*.

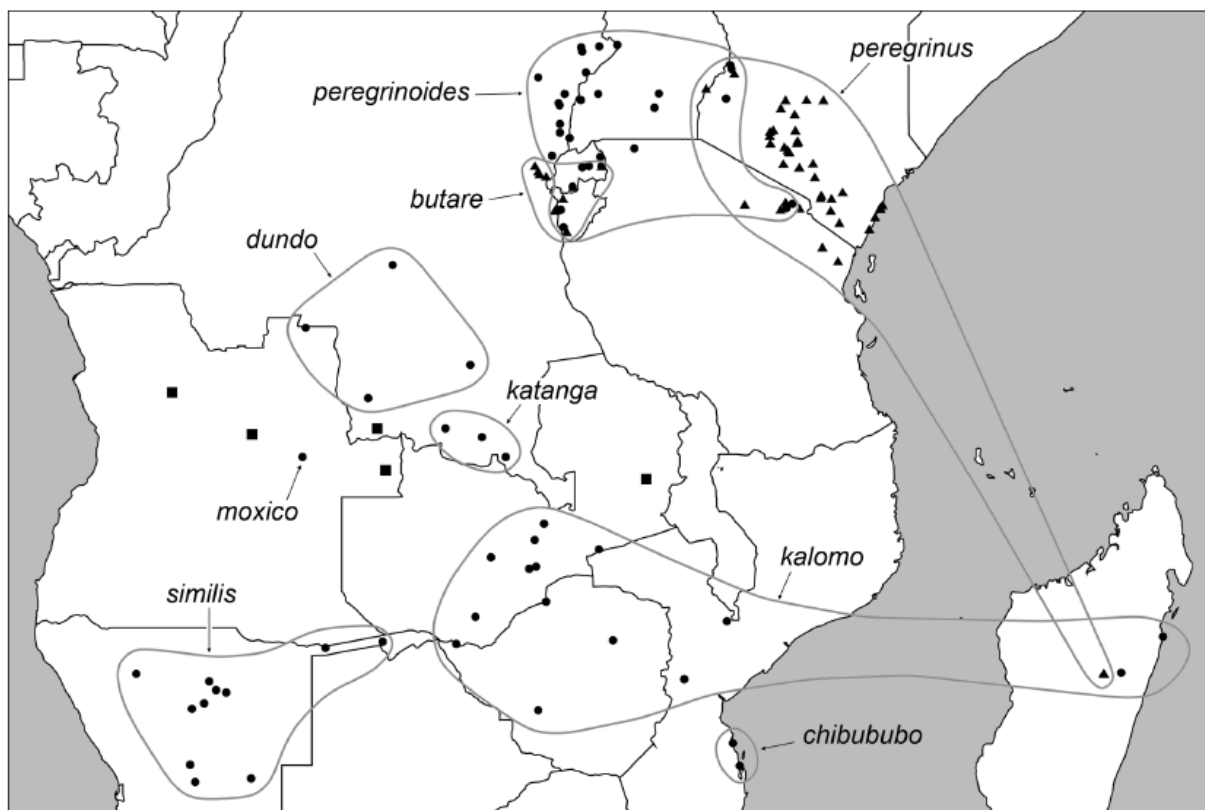


FIGURE 608. Known distribution of the *peregrinus* group. *S. butare* and *S. peregrinus* are represented by triangles in order to facilitate distinction from *S. peregrinoides*. Squares: further undescribed species.

***Smeringopus kalomo* new species**

Figs. 564–565, 571, 580–581, 600–601, 655–662, 667–672

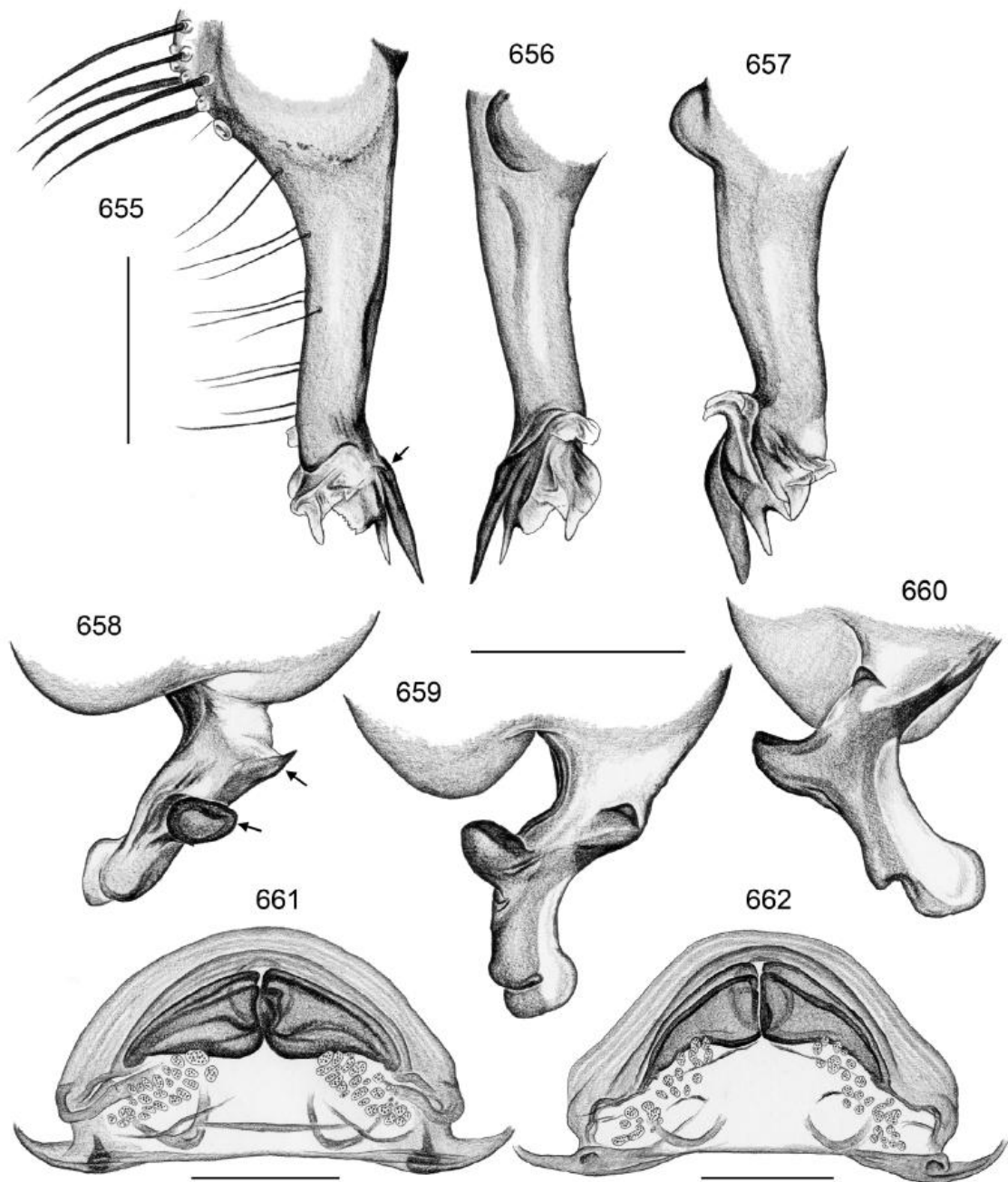
“*Smeringopus peregrinus* Strand” (misidentification): Kraus 1957: 223–224, figs. 11–16.

Type. Male holotype from Zambia, Southern Province, Kalomo (17°02’S, 26°29’E), 8.–9.iii.1995 (W.J. Pulawski), in CAS.

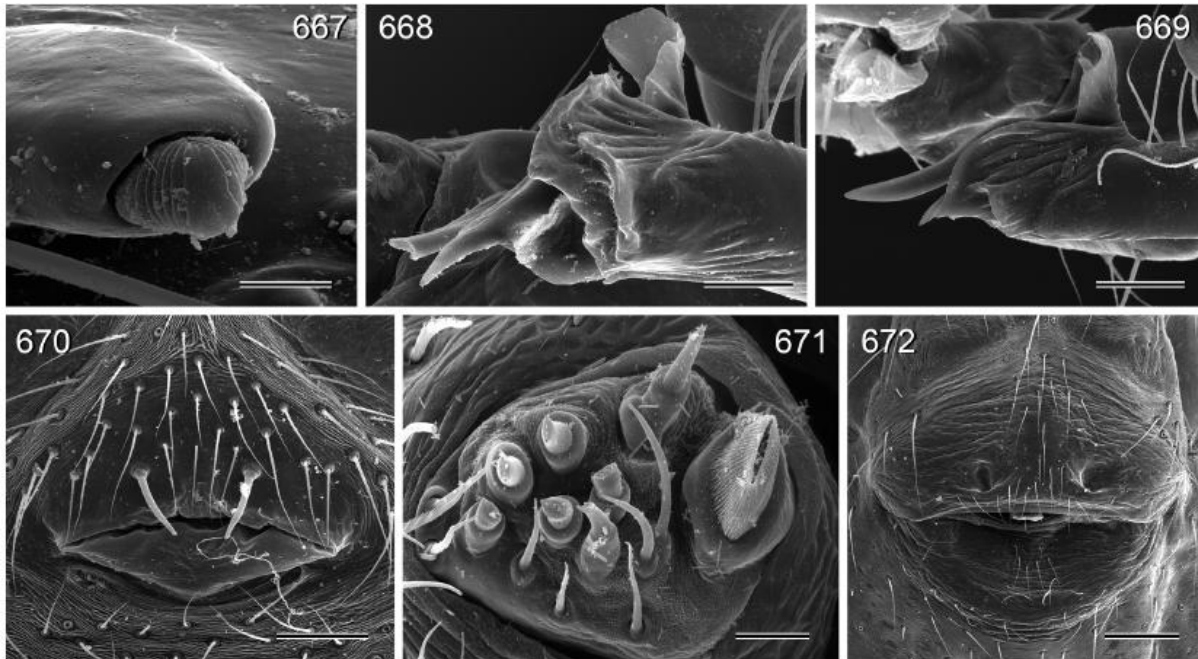
Etymology. The name is a noun in apposition, derived from the type locality.

Diagnosis. Distinguished from similar congeners by tip of procurus (distinctive sclerotized and membranous elements, prolateral flap; Figs. 655–657; similar *S. chibububo*), shape of embolus (Figs. 658–660; distinctive prolateral view); from *S. peregrinoides* also by longer and more downward directed cheliceral apophyses (similar *S. peregrinus*; cf. Figs. 614, 615) and absence of v-shaped or u-shaped structure frontally in female internal genitalia (Fig. 600).

Male (holotype). Total body length 6.0, carapace width 2.0 (slightly deformed). Leg 1: 56.3 (14.7 + 0.9 + 15.1 + 22.9 + 2.7), tibia 2: 10.3, tibia 3: 7.7, tibia 4: 10.3; tibia 1 L/d: 66. Habitus as in Fig. 564. Carapace ochre-yellow with brown median and lateral marks, clypeus with pair of dark stripes, sternum brown with light marks near bases of coxae 2–4 and medially, legs light brown, femora and tibiae with lighter tips and subdistal dark rings, abdomen ochre-gray with distinct dorsal and ventral pattern. Distance PME-PME 185 µm, diameter PME 160 µm, distance PME-ALE 90 µm, distance AME-AME 55 µm, diameter AME 160 µm. Ocular area slightly elevated, secondary eyes with ‘pseudo-lenses’; deep thoracic pit. Chelicerae as in *S. peregrinus* (cf. Figs. 614, 615), with one pair of distal apophyses, each provided with one modified hair at tip (Fig. 667). Palps as in Figs. 580 and 581, coxa with distinct retrolateral apophysis and shallow wide furrow, trochanter barely modified, femur with retrolateral furrow with distinct rim proximally, procurus with distinctive distal elements (prolateral membranous flap; Figs. 655–657), bulb with distinctively shaped prolateral process on embolus (Figs. 658–660). Legs without spines, few vertical hairs, with curved hairs on tibiae and metatarsi 1 and 2, retrolateral trichobothrium on tibia 1 at 3%; prolateral trichobothrium present on tibia 1. Gonopore with two epiandrous spigots (Fig. 670); ALS with eight spigots each (Fig. 671).



FIGURES 655–662. *Smeringopus kalomo*. 655. Left cymbium and procurus, retrolateral view (arrow points to variable structure; see text). 656–657. Left procurus, prolateral and dorsal views. 658–660. Left embolus, prolateral (slightly ventral), prolatero-dorsal, and dorsal views (arrows point to variable structures; see text). 661–662. Cleared female genitalia, dorsal views (661: Kalomo; 662: Harare). Scale lines: 0.3 mm.



FIGURES 663–672. *Smeringopus butare* (663–666) and *S. kalomo* (667–672). 663. Male cheliceral apophysis. 664. Male gonopore. 665. Male ALS. 666. Epigynum. 667. Male cheliceral apophysis. 668–669. Left procurus, retrolatero-dorsal and dorsal views. 670. Male gonopore. 671. Male ALS. 672. Epigynum. Scale lines: 10 μm (663, 667), 20 μm (671), 30 μm (665), 60 μm (668), 80 μm (664, 669), 100 μm (670), 200 μm (666, 672).

Variation. In the male from Bulawayo, the proximal part of the distal procurus spine (arrow in Fig. 655) is slightly more projecting. In the males from Madagascar, both sclerotized projections of the bulb (arrows in Fig. 658) are slightly shorter. Tibia 1 in 24 males: 10.1–16.7 (mean 12.9).

Female. In general similar to male; tibia 1 in 46 females: 8.8–15.2 (mean 11.0). Epigynum very similar *S. peregrinus* (Figs. 600, 672); frontal ‘valve’ in internal genitalia less curved (Figs. 601, 661, 662; very similar *S. chibububo*, *S. similis*).

Distribution. Widely distributed in Zambia, Zimbabwe, and Mozambique; apparently introduced to Madagascar (Fig. 608).

Material examined. ZAMBIA: *Southern Prov.*: Kalomo: 1♂ type above; same data, 1♂10♀ in CAS. *Eastern Prov.*: Kacholola (14°46’S, 30°36’E), 110 km E Petauke, 16.iii.1995 (W.J. Pulawski), 8♂7♀ in CAS. *Lusaka Prov.*: Lusaka [25°25’S, 28°17’E], in house, 20.iii.1982, collector not given, 1♂ in AMNH. 25 km E Lusaka (15°21’S, 28°30’E), 3.iii.1995 (W.J. Pulawski), 2♀ in CAS. *Central Prov.*: 6 km W Mumbwa (15°02’S, 27°00’E), 30.iii.1995 (W.J. Pulawski), 1♂3♀ in CAS. Broken Hill [=Kabwe, 14°27’S, 28°27’E], 20.iv.1911 (P. Timm), 1♂1♀ in ZMH. 8 mi NE Kapiri Mposhi [13°54’S, 28°46’E], 1280 m a.s.l., 10.ii.1958 (E.S. Ross, R.E. Leech), 1♀ in CAS.

ZIMBABWE: *Bulawayo Prov.*: Bulawayo [20°10’S, 28°35’E], xi.1964–i.1965 (S. Bucklin), 1♂1♀ in MRAC (128095). *Matabeleland North*: Victoria Falls (17°56’S, 25°50’E), 19.–22.xii.1995 (W. Pulawski), 3♂3♀ in CAS; same locality, 29.xi.1996 (W. Pulawski, V. Ahrens), 4♂11♀ in CAS. *Mashonaland West*: Kariba [16°31’S,

28°51’E], 16.x.1990 (V.D. & B. Roth), 1♀ in CAS. *Harare Prov.*: Harare (17°49’S, 31°05’E), in store-room, ii.1999 (M. Cumming), 1♀ in ZFMK.

MOZAMBIQUE: *Sofala*: Nova Choupanga [near Chemba?, ~17°10’S, 34°53’E], leg. P. Lesne, date not given, 2♂4♀ in MHNG; same data, 2♂3♀ in SMF (9811/5). *Manica*: Vila Pery [=Chimoio, 19°07’S, 33°28’E], leg. P. Lesne, date not given, 3♂7♀ in MHNG.

MADAGASCAR: *Toamasina*: 70 km E Antananarivo [18°54.0’S, 48°06.7’E], zoo, 23.ix.1999 (P. Horak) 1♂ in CPH (Ma99-96). Tamatave, Foulpointe [17°41’S, 49°31’E], iii.1993 (A. Pauly), 1♀ in MRAC (200075). Foulpointe, forêt, 28.vii.1993 (A. Pauly), 1♂2♀ in MRAC (206271); Foulpointe, forêt d’Analalava, i.1995 (A. Pauly), 1♂ in MRAC (207264).